

**KITOSAN DARI LIMBAH SISIK IKAN BANDENG (*Chanos chanos*) DAN
KULIT UDANG WINDU (*Panaeus monodon*) SEBAGAI INHIBITOR
KOROSI PADA BAJA ASTM A36**

SKRIPSI



**UIN SUNAN AMPEL
S U R A B A Y A**

Disusun Oleh :

CHANDRA SILVIA

H74216053

**PROGRAM STUDI ILMU KELAUTAN
FAKULTAS SAINS DAN TEKNOLOGI
UNIVERSITAS ISLAM NEGERI SUNAN AMPEL
SURABAYA**

2021

PERNYATAAN KEASLIAN

Saya yang bertanda tangan dibawah ini,

Nama : CHANDRA SILVIA

NIM : H74216053

Program Studi : ILMU KELAUTAN

Angkatan : 2016

Menyatakan bahwa saya tidak melakukan plagiat dalam penulisan skripsi saya yang berjudul : “KITOSAN DARI LIMBAH SISIK IKAN BANDENG (*Chanos chanos*) DAN KULIT UDANG WINDU (*Panaeus monodon*) SEBAGAI INHIBITOR KOROSI PADA BAJA ASTM A36”. Apabila suatu saat nanti terbukti saya melakukan tindakan plagiat, maka saya bersedia menerima sanksi yang telah di tetapkan.

Demikian pernyataan keaslian ini saya buat dengan sebenar-benarnya.

Surabaya, 8 Februari 2021

Yang menyatakan,



(CHANDRA SILVIA)
NIM. H74216053

LEMBAR PERSETUJUAN PEMBIMBING

Skripsi oleh :

NAMA : CHANDRA SILVIA

NIM : H74216053

JUDUL : **KITOSAN DARI LIMBAH SISIK IKAN BANDENG (*Chanos chanos*) DAN KULIT UDANG WINDU (*Panaeus monodon*) SEBAGAI INHIBITOR KOROSI PADA BAJA ASTM A36**

Ini telah diperiksa dan disetujui untuk diujikan.

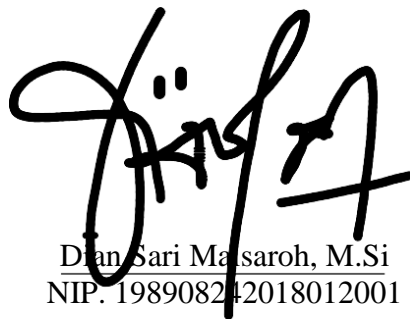
Surabaya, 06 Januari 2021

Dosen Pembimbing I



Misbakhul Munir, S.Si, M.Kes
NIP. 198107252014031002

Dosen Pembimbing II



Dian Sari Mas saroh, M.Si
NIP. 198908242018012001

PENGESAHAN TIM PENGUJI SKRIPSI

Skripsi CHANDRA SILVIA ini telah dipertahankan
di depan tim penguji skripsi
di Surabaya, 11 Januari 2021

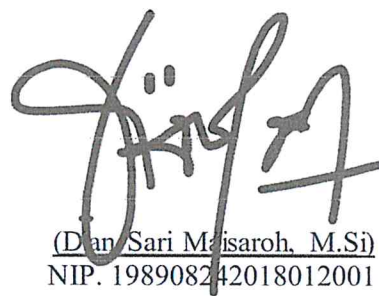
Mengesahkan,
Dewan Penguji

Penguji I



(Misbakhul Munir, S.Si, M.Kes)
NIP. 198107252014031002

Penguji II



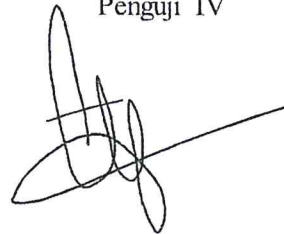
(Dian Sari Maisaroh, M.Si)
NIP. 198908242018012001

Penguji III



(Asri Sawiji, M.T)
NIP. 198706262014032003

Penguji IV



(Wiga Alif Violando, M.P)
NIP. 199203292019031012

Mengetahui,

Dekan Fakultas Sains dan Teknologi

UIN Sunan Ampel Surabaya



Dr. Hj. Evi Fatimatur Rusydiyah, M.Ag.
NIP. 197312272005012003



KEMENTERIAN AGAMA
UNIVERSITAS ISLAM NEGERI SUNAN AMPEL SURABAYA
PERPUSTAKAAN

Jl. Jend. A. Yani 117 Surabaya 60237 Telp. 031-8431972 Fax.031-8413300
E-Mail: perpus@uinsby.ac.id

LEMBAR PERNYATAAN PERSETUJUAN PUBLIKASI
KARYA ILMIAH UNTUK KEPENTINGAN AKADEMIS

Sebagai sivitas akademika UIN Sunan Ampel Surabaya, yang bertanda tangan di bawah ini, saya:

Nama : CHANDRA SILVIA
NIM : H74216053
Fakultas/Jurusan : SAINS DAN TEKNOLOGI/ ILMU KELAUTAN
E-mail address : chandrasilvia9@gmail.com

Demi pengembangan ilmu pengetahuan, menyetujui untuk memberikan kepada Perpustakaan UIN Sunan Ampel Surabaya, Hak Bebas Royalti Non-Eksklusif atas karya ilmiah :

Skripsi Tesis Desertasi Lain-lain (.....)
yang berjudul :

KITOSAN DARI LIMBAH SISIK IKAN BANDENG (*Chanos chanos*) DAN
KULIT UDANG WINDU (*Panaeus monodon*) SEBAGAI INHIBITOR KOROSI
PADA BAJA ASTM A36

beserta perangkat yang diperlukan (bila ada). Dengan Hak Bebas Royalti Non-Eksklusif ini Perpustakaan UIN Sunan Ampel Surabaya berhak menyimpan, mengalih-media/format-kan, mengelolanya dalam bentuk pangkalan data (database), mendistribusikannya, dan menampilkan/mempublikasikannya di Internet atau media lain secara **fulltext** untuk kepentingan akademis tanpa perlu meminta ijin dari saya selama tetap mencantumkan nama saya sebagai penulis/pencipta dan atau penerbit yang bersangkutan.

Saya bersedia untuk menanggung secara pribadi, tanpa melibatkan pihak Perpustakaan UIN Sunan Ampel Surabaya, segala bentuk tuntutan hukum yang timbul atas pelanggaran Hak Cipta dalam karya ilmiah saya ini.

Demikian pernyataan ini yang saya buat dengan sebenarnya.

Surabaya, 08 Februari 2021

Penulis

(CHANDRA SILVIA)

2.8 Penelitian Terdahulu

Berikut adalah penelitian terdahulu yang membahas mengenai limbah hasil perikanan sebagai sumber penghasil kitosan, metode pembuatannya dan pemanfaatannya :

Tabel 2. 2 Penelitian terdahulu

No.	Penulis, Tahun dan Judul	Tujuan	Metode	Hasil	Perbedaan Penelitian
1.	Herman Bangngalino dan A. Muhammad Iqbal Akbar, 2017, Pemanfaatan Sisik Ikan Bandeng sebagai Bahan Baku Kitosan dengan Metode Sonifikasi dan Aplikasinya untuk Pengawet Makanan	Untuk mengetahui rendemen, kadar air, kadar abu, derajat deasetilasi dan untuk mengetahui pengaruh kitosan sebagai pengawet makanan.	Ekstraksi kitosan sisik ikan bandeng : deproteinasi, demineralisasi dan deasetilasi menggunakan metode sonikasi. Dilakukan karakterisasi kitosan menggunakan FTIR, penentuan rendamen, kadar air, kadar abu dan derajat deasetilasi menggunakan metode titrasi asam basa. Diaplikasikan sebagai pengawet pada bakso.	Kitosan yang diperoleh dari sisik ikan bandeng memiliki rendamen 12,5%, kadar air 7,49%, kadar abu 1,15%, derajat deasetilasi 81,56% dan viskositas 3,06 cp. Kitosan sisik ikan bandeng dapat digunakan sebagai pengawet makanan dan dapat memperpanjang umur simpan bakso pada suhu ruang.	Penelitian Herman Bangngalino dan A. Muhammad Iqbal Akbar memanfaatkan kitosan sisik ikan bandeng sebagai pengawet makanan. Peneliti memanfaatkan kitosan sisik ikan bandeng sebagai inhibitor laju korosi.
2.	Maria Erna, Emriadi, Admin Alif, Syukri Arief dan Mohd. Jain Noordin, 2009, Sintesis dan	Untuk mengetahui efisiensi inhibisi korosi KMK yang diperoleh dari berbagai	Kitosan dari Laboratorium kimia disintesis dengan metode Wang, metode Zhou, merode Pang dan metode Liang agar menjadi Karbosimetil	Karbosimetil Kitosan (KMK) yang larut dalam berbagai PH dan spektrumnya dengan referensi adalah kitosan yang disintesis dengan	Penelitian Maria Erna, Emriadi, Admin Alif, Syukri Arief dan Mohd. Jain Noordin menggunakan kitosan yang diperoleh dari laboratorium, kemudian disintesis menjadi

	Aplikasi Karbosimetil Kitosan sebagai Inhibitor pada Baja Karbon dalam Air	metode.	Kitosan (KMK) kemudian dilakukan karakterisasi dengan spektrometer FTIR. Digunakan air dengan PH yang bervariasi sebagai larutan korosifnya. Konsentrasi KMK yang digunakan juga bervariasi. Metode pengujian korosi yang digunakan adalah dengan uji elektrokimia.	metode Pang. KMK dapat digunakan sebagai inhibitor korosi pada media air. Hasil optimum terdapat pada air dengan PH 5 dan konsentrasi KMK 1 ppm, dengan efisiensi inhiisi korosi mencapai 77%.	karboksimetil kitosan (KMK). Spesimen uji berupa lempengan baja karbon. Larutan korosif berupa air dengan pH 4,5,6,7,9 dan 11. Pengujian laju korosi menggunakan metode elektrokimia. Peneliti menggunakan kitosan yang diperoleh dari sisik ikan bandeng dan kulit udang windu. Spesimen uji berupa plat baja ASTM A36. Larutan korosif berupa campuran NaCl 3,5% dan CH ₃ COOH 3%. Pengujian laju korosi menggunakan metode kehilangan berat (<i>weight loss</i>).
3.	Maria Erna, Emriadi, Admin Alif dan Syukri Arief, 2010, Efektifitas Kitosan sebagai Inhibitor Korosi pada Baja Lunak dalam Air	Untuk mengetahui Efektivitas kitosan sebagai inhibitor korosi pada baja lunak dalam air gambut	Karakterisasi kitosan menggunakan FTIR (<i>Fourier Transform Infrared spectroscopy</i>) dan SEM (<i>Scanning Electron Microscopy</i>). Pengujian korosi menggunakan metode hilang berat.	Kondisi optimum terdapat pada kitosan (1) yaitu, air gambut dengan PH 3, teknik inhibisi pelapisan, waktu interaksi 3 hari dan efisiensi inhibisinya sebesar 88,73%. Sedangkan pada kitosan	Penelitian Maria Erna, Emriadi, Admin Alif dan Syukri Arief menggunakan kitosan yang didapat dari laboratorium. Media korosif berupa air gambut. Spesimen uji berupa lempengan baja lunak dengan kode BJTP 24.

	Gambut			(2), hasil optimum ditunjukkan pada air gambut dengan PH 6, teknik inhibisi berupa pencelupan, waktu interaksi 3 hari dan efisiensi inhibisi sebesar 93,32%.	Peneliti menggunakan sisik ikan bandeng dan kulit udang yang disintesis menjadi kitosan. Media korosif berupa campuran larutan NaCl 3,5% dan CH ₃ COOH 3%. Spesimen uji berupa plat baja ASTM A36.
4.	Syarif Hidayatullah, Femiana Gapsari dan Putu Hadi Setyarini, 2019, Perilaku Korosi Besi ASTM A36 pada Asam Klorida (HCl) dengan Inhibitor Sisik Ikan	Untuk menganalisa perilaku korosi pada besi ASTM A36 dengan inhibitor sisik ikan berdasarkan variasi konsentrasi inhibitor yang digunakan.	Pembuatan kitosan dilakukan dengan tiga tahap perendaman, yaitu deproteinasi (perendaman dengan NaOH 7%), demineralisasi (perendaman dengan HCl 1 molar dalam 100 ml <i>aquadest</i>) dan deasetilasi (perendaman dengan NaOH 70%). Pengujian laju korosi menggunakan metode ekstrapolasi tafel (polarisasi) dan EIS (<i>Electrochemical Impedance Spectroscopy</i>).	Pengujian menggunakan metode polarisasi dan EIS menunjukkan hasil yang sesuai. Konsentrasi inhibitor optimum didapat pada konsentrasi 100 ppm.	Penelitian Syarif Hidayatullah, Femiana Gapsari dan Putu Hadi Setyarini menggunakan media korosif berupa larutan HCl. Konsentrasi inhibitor yang digunakan adalah tanpa inhibitor, 100 ppm, 200 ppm, 300 ppm dan 400 ppm. Pengujian laju korosi menggunakan metode ekstrapolasi tafel (polarisasi) dan EIS (<i>Electrochemical Impedance Spectroscopy</i>) Peneliti menggunakan larutan korosif berupa campuran NaCl 3,5% dan CH ₃ COOH 3%. Konsentrasi inhibitor yang digunakan adalah tanpa inhibitor, 60 ppm, 500 ppm

					dan 1000 ppm. Pengujian laju korosi menggunakan metode kehilangan berat (<i>weight loss</i>)
5.	Trivina Ira Riszki dan Harmami, 2015, Pengaruh Suhu terhadap Kualitas <i>Coating</i> (Pelapisan) <i>Stainless Steel</i> Tipe 304 dengan Kitosan secara Elektroforesis	Untuk mengetahui pengaruh suhu proses elektroforesis terhadap kualitas <i>coating</i> kitosan pada <i>stainless steel</i> tipe 304 yang dilihat dari ketebalan lapisan dan laju korosi dalam media NaCl 3%.	Spesimen baja SS 304 dengan ukuran 4cm×1cm <i>dicoating</i> dengan larutan kitosan 0,08% selama 10 menit dengan variasi suhu 35°C, 40°C, 45°C dan 50°C. Pengujian dengan <i>coating thickness</i> untuk mengetahui ketebalan lapisan kitosan. Uji ketahanan korosi dengan metode polarisasi potensiodinamik.	Kenaikan suhu dapat menghasilkan kualitas <i>coating</i> yang semakin baik. Hasil optimum terdapat pada suhu 50°C yang menghasilkan ketebalan sebesar 49,73±6,86µm dan laju korosi sebesar 0,00065 mpy.	Penelitian Trivina Ira Riszki dan Harmami menggunakan spesimen uji berupa <i>stainless steel</i> tipe 304. Larutan kitosan yang digunakan adalah 0,08%. Pengujian laju korosi menggunakan metode polarisasi potensiodinamik. Peneliti menggunakan spesimen uji berupa baja ASTM A36. Variasi konsentrasi inhibitor adalah tanpa inhibitor, 60 ppm, 500 ppm dan 1000 ppm. Pengujian laju korosi menggunakan metode kehilangan berat (<i>weight loss</i>).
6.	Firman Ardyansyah, 2015, Pengaruh Penambahan KI pada Media 2% NaCl terhadap Inhibisi Kitosan	Untuk mengetahui konsentrasi KI optimum yang digunakan dalam media NaCl 2% +	Metode pengukuran laju korosi yang digunakan adalah metode kehilangan berat (dilakukan perendaman spesimen selama 48 jam) dan metode polarisasi	Pengaruh penambahan KI pada media 2% NaCl dengan kandungan 10 mg/L kitosan sebagai inhibitor adalah pada penambahan KI 40mg/L dan efek mempercepat	Penelitian Firman Ardyansyah menggunakan kitosan <i>food grade</i> . Spesimen uji berupa <i>tinplate</i> . Media yang digunakan berupa media korosi NaCl 2% dengan kandungan 10 mg/l kitosan, dengan variasi

	pada Korosi <i>Tinplate</i>	kitosan yang menghasilkan efisiensi inhibisi terbesar.	potensiodinamik.	proses korosi pada saat ditambahkan KI lebih dari 40mg/L. Pada metode pengurangan berat didapat hasil optimum efisiensi inhibisi sebesar 24,06% yang didapat dari penambahan 40mg/L KI pada 10 mg/L kitosan. Sedangkan untuk metode polarisasi potensiodinamik didapat nilai optimum pada penambahan 40mg/L KI dengan efisiensi inhibisi sebesar 80,41%.	KI (30mg/L; 40mg/L; 50mg/L; 60mg/L; 70mg/L dan 80mg/L). Pengukuran laju korosi menggunakan metode kehilangan berat (perendaman spesimen selama 48 jam) dan metode polarisasi potensiodinamik. Peneliti menggunakan kitosan yang diperoleh dari sisik ikan bandeng dan kulit udang windu. Spesimen uji yang digunakan adalah baja ASTM A36. Media korosif yang digunakan adalah campuran larutan NaCl 3,5% dan CH ₃ COOH 3%. Konsentrasi kitosan yang digunakan adalah 0 ppm, 60 ppm, 500 ppm dan 1000 ppm. Pengukuran laju korosi menggunakan metode kehilangan berat (waktu perendaman 4 minggu dengan pengamatan 1 minggu sekali)
7.	Harmami, Ita Ulfin, Arina Hidayatus	Untuk mengetahui kinerja WSC	Penelitian ini menggunakan limbah kulit udang vaname dan	Nilai efisiensi inhibisi semakin meningkat dan mencapai nilai	Penelitian Harmami, Ita Ulfin, Arina Hidayatus Sakinah dan Yatim Lailun Ni'mah

	<p>Sakinah dan Yatim Lailun Ni'mah, 2019, Water Soluble Chitosan from Shrimp and Mussel Shells as Corrosion Inhibitor on Tinplate in 2% NaCl</p>	<p>dari kulit udang vaname dan cangkang kerang kampak sebagai inhibitor korosi pada tinplate dalam larutan NaCl 2%.</p>	<p>cangkang kerang kampak. Uji korosi menggunakan metode hilang berat dengan tinplate 2cm×2cm, media korosif tanpa dan dengan inhibitor kitosan kulit udang dan cangkang kerang dengan konsentrasi 0, 10, 250, 500, 1000, 1300 dan 1500 mg/l. Uji laju korosi dengan metode polarisasi potensiodinamik dengan ukuran spesimen 4cm×1cm dengan inhibitor kulit udang.</p>	<p>maksimum pada konsentrasi 1300 mg/l dan mengalami penurunan pada konsentrasi 1500 mg/l. Efisiensi WSC kulit udang vaname sebesar 72,73% dengan metode pengurangan berat dan 91,41% dengan metode polarisasi potensiodinamik, sedangkan untuk WSC cangkang kerang kampak adalah sebesar 54,55% dengan metode pengurangan berat.</p>	<p>menggunakan inhibitor berupa kitosan larut air (<i>Water Soluble Chitosan/WSC</i>) yang berasal dari kulit udang vaname dan cangkang kerang kampak. Konsentrasi yang digunakan 0, 10, 250, 500, 1000, 1300 dan 1500 mg/l. Larutan korosif berupa NaCl 2%. Spesimen uji yang digunakan adalah tinplate.</p> <p>Peneliti menggunakan inhibitor berupa kitosan yang berasal dari sisik ikan bandeng kulit udang windu. Konsentrasi yang digunakan adalah 0, 60, 500 dan 1000 ppm. Larutan korosif berupa campuran NaCl 3,5% dan CH₃COOH 3%. Spesimen uji yang digunakan adalah plat baja ASTM A36.</p>
8.	<p>Se-Fei Yang, Ying Wen, Pan Yi, Kui Xiao and Chao-Fang Dong, 2017, Effect of Chitosan Inhibitor</p>	<p>Untuk mengetahui pengaruh kitosan sebagai inhibitor pada <i>stainless steel</i></p>	<p>Penelitian ini menggunakan uji elektrokimia, uji perendaman spesimen dan pengamatan menggunakan mikroskop stereologi</p>	<p>Kitosan larut air menunjukkan hasil yang baik dalam penghambatan laju korosi pada <i>stainless steel duplex 2205</i> di</p>	<p>Penelitian Se-Fei Yang, Ying Wen, Pan Yi, Kui Xiao dan Chao-Fang Dong menggunakan kitosan larut air. Spesimen uji berupa <i>stainless steel duplex 2205</i>. Pengujian</p>

	<p>on the Electrochemical Corrosion Behavior of 2205 Duplex Stainless Steel</p>	<p><i>duplex 2205.</i></p>	<p>untuk mengetahui pengaruh kitosan sebagai inhibitor korosi pada <i>stainless steel duplex 2205</i></p>	<p>media larutan NaCl 3,5%. Kurva polarisasi menunjukkan bahwa kitosan larut air merupakan inhibitor tipe campuran. Spesimen stainless steel yang direndam dalam larutan kitosan 0,2 g/L selama 4 jam memiliki film adsorpsi yang padat dan seragam yang menutupi permukaan spesimen.</p>	<p>laju korosi menggunakan metode elektrokimia.</p> <p>Peneliti menggunakan kitosan dari sisik ikan bandeng dan kulit udang windu. Spesimen uji berupa baja ASTM A36. Pengujian laju korosi menggunakan metode kehilangan berat.</p>
--	---	----------------------------	---	---	--

Tabel 4. 3 Data Perhitungan Luas Area Spesimen Uji

Inhibitor	Konsentrasi	Kode	p (cm)	l (cm)	t (cm)	R (cm)	L1 (cm ²)	L2 (cm ²)	L3 (cm ²)	L4 (cm ²)	L5 (cm ²)	L6 (cm ²)	L7 (cm ²)	Ltotal (cm ²)
Tanpa Inhibitor (Kontrol negatif)	0 ppm	A1	3,01	3	0,29	0,15	8,9594	8,9594	0,87	0,87	0,8729	0,8729	0,27318	21,67768
		A2	3,01	3,035	0,29	0,15	9,0647	9,0647	0,88015	0,88015	0,8729	0,8729	0,27318	21,90868
		A3	3,01	3,015	0,29	0,15	9,0045	9,0045	0,87435	0,87435	0,8729	0,8729	0,27318	21,77668
		A4	3,01	2,975	0,29	0,15	8,8841	8,8841	0,86275	0,86275	0,8729	0,8729	0,27318	21,51268
		A5	3,02	3	0,29	0,15	8,98935	8,98935	0,87	0,87	0,8758	0,8758	0,27318	21,74348
		A6	3,015	2,99	0,29	0,15	8,9442	8,9442	0,8671	0,8671	0,87435	0,87435	0,27318	21,64448
		A7	3	2,99	0,285	0,15	8,89935	8,89935	0,85215	0,85215	0,855	0,855	0,26847	21,48147
		A8	2,99	3,025	0,295	0,15	8,9741	8,9741	0,89238	0,89238	0,88205	0,88205	0,27789	21,77494
		A9	3	3,015	0,3	0,15	8,97435	8,97435	0,9045	0,9045	0,90	0,90	0,2826	21,8403
		A10	3,05	3,01	0,3	0,15	9,10985	9,10985	0,903	0,903	0,915	0,915	0,2826	22,1383
		A11	2,98	2,97	0,298	0,15	8,77995	8,77995	0,88506	0,88506	0,88804	0,88804	0,28072	21,38682
		A12	3,05	2,99	0,285	0,15	9,04885	9,04885	0,85215	0,85215	0,86925	0,86925	0,26847	21,80897
Kitosan sisik ikan bandeng	60 ppm	B1	3,025	3	0,285	0,15	9,00435	9,00435	0,855	0,855	0,86213	0,86213	0,26847	21,71142
		B2	3,025	3,01	0,285	0,15	9,0346	9,0346	0,85785	0,85785	0,86213	0,86213	0,26847	21,77762
		B3	3,025	3	0,29	0,15	9,00435	9,00435	0,87	0,87	0,87725	0,87725	0,27318	21,77638
		B4	3,005	2,95	0,285	0,15	8,7941	8,7941	0,84075	0,84075	0,85643	0,85643	0,26847	21,25102
		B5	2,99	3,01	0,28	0,15	8,92925	8,92925	0,8428	0,8428	0,8372	0,8372	0,26376	21,48226
		B6	3	3	0,29	0,15	8,92935	8,92935	0,87	0,87	0,87	0,87	0,27318	21,61188
		B7	3,03	3,05	0,285	0,15	9,17085	9,17085	0,86925	0,86925	0,86355	0,86355	0,26847	22,07577
		B8	3,015	2,975	0,285	0,15	8,89898	8,89898	0,84788	0,84788	0,85928	0,85928	0,26847	21,48072
		B9	3,025	3,01	0,28	0,15	9,0346	9,0346	0,8428	0,8428	0,847	0,847	0,26376	21,71256
		B10	2,975	2,99	0,3	0,15	8,8246	8,8246	0,897	0,897	0,8925	0,8925	0,2826	21,5108
		B11	3,035	3,04	0,275	0,15	9,15575	9,15575	0,836	0,836	0,83463	0,83463	0,25905	21,9118
		B12	3,02	2,975	0,285	0,15	8,91385	8,91385	0,84788	0,84788	0,8607	0,8607	0,26847	21,51332
	500 ppm	C1	2,985	3	0,275	0,15	8,88435	8,88435	0,825	0,825	0,82088	0,82088	0,25905	21,3195
		C2	2,96	3	0,285	0,15	8,80935	8,80935	0,855	0,855	0,8436	0,8436	0,26847	21,28437
		C3	3	2,97	0,29	0,15	8,83935	8,83935	0,8613	0,8613	0,87	0,87	0,27318	21,41448
		C4	3	3,01	0,285	0,15	8,95935	8,95935	0,85785	0,85785	0,855	0,855	0,26847	21,61287
		C5	3,035	2,985	0,285	0,15	8,98883	8,98883	0,85073	0,85073	0,86498	0,86498	0,26847	21,67752
		C6	3,01	2,97	0,29	0,15	8,86905	8,86905	0,8613	0,8613	0,8729	0,8729	0,27318	21,47968
		C7	3	2,99	0,285	0,15	8,89935	8,89935	0,85215	0,85215	0,855	0,855	0,26847	21,48147
		C8	2,975	3	0,285	0,15	8,85435	8,85435	0,855	0,855	0,84788	0,84788	0,26847	21,38292
		C9	3,01	2,99	0,29	0,15	8,92925	8,92925	0,8671	0,8671	0,8729	0,8729	0,27318	21,61168

		C10	3	3,01	0,275	0,15	8,95935	8,95935	0,82775	0,82775	0,825	0,825	0,25905	21,48325	
		C11	3,01	2,985	0,275	0,15	8,9142	8,9142	0,82088	0,82088	0,82775	0,82775	0,25905	21,3847	
		C12	3	2,97	0,285	0,15	8,83935	8,83935	0,84645	0,84645	0,855	0,855	0,26847	21,35007	
	1000 ppm		D1	3,01	3,01	0,285	0,15	8,98945	8,98945	0,85785	0,85785	0,85785	0,85785	0,26847	21,67877
			D2	2,915	3	0,285	0,15	8,67435	8,67435	0,855	0,855	0,83078	0,83078	0,26847	20,98872
			D3	2,985	3	0,275	0,15	8,88435	8,88435	0,825	0,825	0,82088	0,82088	0,25905	21,3195
			D4	2,95	2,965	0,275	0,15	8,6761	8,6761	0,81538	0,81538	0,81125	0,81125	0,25905	20,8645
			D5	3,015	3	0,29	0,15	8,97435	8,97435	0,87	0,87	0,87435	0,87435	0,27318	21,71058
			D6	3	2,95	0,29	0,15	8,77935	8,77935	0,8555	0,8555	0,87	0,87	0,27318	21,28288
			D7	3	2,975	0,275	0,15	8,85435	8,85435	0,81813	0,81813	0,825	0,825	0,25905	21,254
			D8	3,02	3,01	0,285	0,15	9,01955	9,01955	0,85785	0,85785	0,8607	0,8607	0,26847	21,74467
			D9	3,01	2,99	0,285	0,15	8,92925	8,92925	0,85215	0,85215	0,85785	0,85785	0,26847	21,54697
D10			2,975	3	0,285	0,15	8,85435	8,85435	0,855	0,855	0,84788	0,84788	0,26847	21,38292	
D11			3,02	2,985	0,285	0,15	8,94405	8,94405	0,85073	0,85073	0,8607	0,8607	0,26847	21,57942	
D12			3,015	2,975	0,275	0,15	8,89898	8,89898	0,81813	0,81813	0,82913	0,82913	0,25905	21,3515	
Kitosan kulit udang windu	60 ppm	E1	3,02	2,99	0,28	0,15	8,95915	8,95915	0,8372	0,8372	0,8456	0,8456	0,26376	21,54766	
		E2	3	2,99	0,28	0,15	8,89935	8,89935	0,8372	0,8372	0,84	0,84	0,26376	21,41686	
		E3	3,01	3	0,285	0,15	8,95395	8,95395	0,855	0,855	0,85785	0,85785	0,26847	21,61287	
		E4	3,025	2,98	0,275	0,15	8,94385	8,94385	0,8195	0,8195	0,83188	0,83188	0,25905	21,4495	
		E5	3	3,03	0,28	0,15	9,01935	9,01935	0,8484	0,8484	0,84	0,84	0,26376	21,67926	
		E6	3	2,99	0,28	0,15	8,89935	8,89935	0,8372	0,8372	0,84	0,84	0,26376	21,41686	
		E7	3	3,02	0,28	0,15	8,98935	8,98935	0,8456	0,8456	0,84	0,84	0,26376	21,61366	
		E8	3,02	3,01	0,29	0,15	9,01955	9,01955	0,8729	0,8729	0,8758	0,8758	0,27318	21,80968	
		E9	3,01	2,975	0,275	0,15	8,8841	8,8841	0,81813	0,81813	0,82775	0,82775	0,25905	21,319	
		E10	2,985	3,01	0,28	0,15	8,9142	8,9142	0,8428	0,8428	0,8358	0,8358	0,26376	21,44936	
		E11	3	3,02	0,285	0,15	8,98935	8,98935	0,8607	0,8607	0,855	0,855	0,26847	21,67857	
		E12	2,99	3	0,28	0,15	8,89935	8,89935	0,84	0,84	0,8372	0,8372	0,26376	21,41686	
	500 ppm		F1	2,985	3	0,295	0,15	8,88435	8,88435	0,885	0,885	0,88058	0,88058	0,27789	21,57774
			F2	3	3,04	0,285	0,15	9,04935	9,04935	0,8664	0,8664	0,855	0,855	0,26847	21,80997
			F3	2,98	3,01	0,29	0,15	8,89915	8,89915	0,8729	0,8729	0,8642	0,8642	0,27318	21,54568
			F4	3,015	2,95	0,285	0,15	8,8236	8,8236	0,84075	0,84075	0,85928	0,85928	0,26847	21,31572
			F5	3,015	2,995	0,28	0,15	8,95928	8,95928	0,8386	0,8386	0,8442	0,8442	0,26376	21,54791
			F6	3	2,99	0,275	0,15	8,89935	8,89935	0,82225	0,82225	0,825	0,825	0,25905	21,35225
			F7	3,015	3,025	0,285	0,15	9,04973	9,04973	0,86213	0,86213	0,85928	0,85928	0,26847	21,81072
			F8	3,015	3,05	0,285	0,15	9,1251	9,1251	0,86925	0,86925	0,85928	0,85928	0,26847	21,97572
			F9	3	2,97	0,275	0,15	8,83935	8,83935	0,81675	0,81675	0,825	0,825	0,25905	21,22125

		F10	3,025	2,98	0,29	0,15	8,94385	8,94385	0,8642	0,8642	0,87725	0,87725	0,27318	21,64378
		F11	3,01	2,995	0,285	0,15	8,9443	8,9443	0,85358	0,85358	0,85785	0,85785	0,26847	21,57992
		F12	3	3,01	0,28	0,15	8,95935	8,95935	0,8428	0,8428	0,84	0,84	0,26376	21,54806
	1000 ppm	G1	2,99	3,015	0,295	0,15	8,9442	8,9442	0,88943	0,88943	0,88205	0,88205	0,27789	21,70924
		G2	3,025	3,02	0,285	0,15	9,06485	9,06485	0,8607	0,8607	0,86213	0,86213	0,26847	21,84382
		G3	3	2,99	0,29	0,15	8,89935	8,89935	0,8671	0,8671	0,87	0,87	0,27318	21,54608
		G4	3,02	2,94	0,28	0,15	8,80815	8,80815	0,8232	0,8232	0,8456	0,8456	0,26376	21,21766
		G5	3	3,01	0,28	0,15	8,95935	8,95935	0,8428	0,8428	0,84	0,84	0,26376	21,54806
		G6	3	3,025	0,285	0,15	9,00435	9,00435	0,86213	0,86213	0,855	0,855	0,26847	21,71142
		G7	2,995	2,91	0,285	0,15	8,6448	8,6448	0,82935	0,82935	0,85358	0,85358	0,26847	20,92392
		G8	3,02	3,025	0,275	0,15	9,06485	9,06485	0,83188	0,83188	0,8305	0,8305	0,25905	21,7135
		G9	3,01	2,94	0,29	0,15	8,77875	8,77875	0,8526	0,8526	0,8729	0,8729	0,27318	21,28168
		G10	3	3,025	0,28	0,15	9,00435	9,00435	0,847	0,847	0,84	0,84	0,26376	21,64646
G11	3,02	2,97	0,28	0,15	8,89875	8,89875	0,8316	0,8316	0,8456	0,8456	0,26376	21,41566		
G12	3	2,98	0,29	0,15	8,86935	8,86935	0,8642	0,8642	0,87	0,87	0,27318	21,48028		
Sodium nitrit (kontrol positif)	1000 ppm	H1	3,02	3	0,285	0,15	8,98935	8,98935	0,855	0,855	0,8607	0,8607	0,26847	21,67857
		H2	3,015	3,015	0,3	0,15	9,01958	9,01958	0,9045	0,9045	0,9045	0,9045	0,2826	21,93975
		H3	3,01	3	0,3	0,15	8,95935	8,95935	0,90	0,90	0,903	0,903	0,2826	21,8073
		H4	3,01	2,995	0,28	0,15	8,9443	8,9443	0,8386	0,8386	0,8428	0,8428	0,26376	21,51516
		H5	3,025	3,01	0,28	0,15	9,0346	9,0346	0,8428	0,8428	0,847	0,847	0,26376	21,71256
		H6	3,015	3,025	0,29	0,15	9,04973	9,04973	0,87725	0,87725	0,87435	0,87435	0,27318	21,87583
		H7	3,01	3,005	0,28	0,15	8,9744	8,9744	0,8414	0,8414	0,8428	0,8428	0,26376	21,58096
		H8	3,02	3,015	0,285	0,15	9,03465	9,03465	0,85928	0,85928	0,8607	0,8607	0,26847	21,77772
		H9	3	3,01	0,285	0,15	8,95935	8,95935	0,85785	0,85785	0,855	0,855	0,26847	21,61287
		H10	3,01	2,975	0,28	0,15	8,8841	8,8841	0,833	0,833	0,8428	0,8428	0,26376	21,38356
		H11	3,025	3,015	0,275	0,15	9,04973	9,04973	0,82913	0,82913	0,83188	0,83188	0,25905	21,6805
		H12	2,99	3,01	0,28	0,15	8,92925	8,92925	0,8428	0,8428	0,8372	0,8372	0,26376	21,48226

2	nitrit		H2	87600	0,106	7,85	21,93975	168	0,32092	
			H3	87600	0,106	7,85	21,8073	168	0,32287	
	Tanpa Inhibitor	0	A4	87600	0,188	7,85	21,51268	336	0,29024	0,34174
			A5	87600	0,220	7,85	21,74348	336	0,33604	
			A6	87600	0,260	7,85	21,64448	336	0,39895	
			B4	87600	0,120	7,85	21,25102	336	0,18754	
		60	B5	87600	0,122	7,85	21,48226	336	0,18861	0,18173
			B6	87600	0,110	7,85	21,61188	336	0,16904	
	Kitosan Sisik Ikan Bandeng	500	C4	87600	0,126	7,85	21,61287	336	0,19362	0,19378
			C5	87600	0,136	7,85	21,67752	336	0,20836	
			C6	87600	0,116	7,85	21,47968	336	0,17936	
		1000	D4	87600	0,116	7,85	20,8645	336	0,18465	0,18816
			D5	87600	0,132	7,85	21,71058	336	0,20193	
			D6	87600	0,114	7,85	21,28288	336	0,17790	
	Kitosan Kulit Udang Windu	60	E4	87600	0,122	7,85	21,4495	336	0,18890	0,16881
			E5	87600	0,102	7,85	21,67926	336	0,15626	
			E6	87600	0,104	7,85	21,41686	336	0,16128	
		500	F4	87600	0,166	7,85	21,31572	336	0,25864	0,21111
			F5	87600	0,122	7,85	21,54791	336	0,18804	
			F6	87600	0,120	7,85	21,35225	336	0,18665	
1000	G4	87600	0,146	7,85	21,21766	336	0,22853	0,20107		
	G5	87600	0,124	7,85	21,54806	336	0,19112			
	G6	87600	0,120	7,85	21,71142	336	0,18356			
Sodium nitrit	1000	H4	87600	0,124	7,85	21,51516	336	0,19141	0,18774	
		H5	87600	0,120	7,85	21,71256	336	0,18355		
		H6	87600	0,124	7,85	21,87583	336	0,18826		
		A7	87600	0,230	7,85	21,48147	504	0,23707		0,23739
		A8	87600	0,216	7,85	21,77494	504	0,21963		
		A9	87600	0,252	7,85	21,8403	504	0,25547		
60	B7	87600	0,154	7,85	22,07577	504	0,15446	0,12119		
	B8	87600	0,098	7,85	21,48072	504	0,10101			
	B9	87600	0,106	7,85	21,71256	504	0,10809			
Kitosan Sisik Ikan Bandeng	500	C7	87600	0,144	7,85	21,48147	504	0,14842	0,14768	
		C8	87600	0,148	7,85	21,38292	504	0,15325		
		C9	87600	0,138	7,85	21,61168	504	0,14138		
1000	D7	87600	0,144	7,85	21,254	504	0,15001	0,14480		
	D8	87600	0,138	7,85	21,74467	504	0,14052			
	D9	87600	0,140	7,85	21,54697	504	0,14386			
Kitosan Kulit Udang Windu	60	E7	87600	0,154	7,85	21,61366	504	0,15776	0,15528	
		E8	87600	0,150	7,85	21,80968	504	0,15228		
		E9	87600	0,150	7,85	21,319	504	0,15579		
	500	F7	87600	0,154	7,85	21,81072	504	0,15633	0,14784	
		F8	87600	0,138	7,85	21,97572	504	0,13904		
		F9	87600	0,142	7,85	21,22125	504	0,14816		
1000	G7	87600	0,136	7,85	20,92392	504	0,14391	0,14957		
	G8	87600	0,152	7,85	21,7135	504	0,15499			
	G9	87600	0,144	7,85	21,28168	504	0,14982			
Sodium nitrit	1000	H7	87600	0,150	7,85	21,58096	504	0,15389	0,14996	
		H8	87600	0,142	7,85	21,77772	504	0,14437		
		H9	87600	0,148	7,85	21,61287	504	0,15162		
4	Tanpa Inhibitor	0	A10	87600	0,222	7,85	22,1383	672	0,16652	0,18568
			A11	87600	0,246	7,85	21,38682	672	0,19101	
			A12	87600	0,262	7,85	21,80897	672	0,19949	
	Kitosan Sisik Ikan Bandeng	60	B10	87600	0,138	7,85	21,5108	672	0,10653	0,10995
			B11	87600	0,148	7,85	21,9118	672	0,11216	
			B12	87600	0,144	7,85	21,51332	672	0,11115	
		500	C10	87600	0,196	7,85	21,48325	672	0,15150	0,15257
			C11	87600	0,196	7,85	21,3847	672	0,15220	
			C12	87600	0,198	7,85	21,35007	672	0,15400	
	1000	D10	87600	0,188	7,85	21,38292	672	0,14600	0,14511	
		D11	87600	0,188	7,85	21,57942	672	0,14467		
		D12	87600	0,186	7,85	21,3515	672	0,14466		
	Kitosan Kulit Udang Windu	60	E10	87600	0,178	7,85	21,44936	672	0,13781	0,13277
			E11	87600	0,168	7,85	21,67857	672	0,12869	
			E12	87600	0,170	7,85	21,41686	672	0,13181	
		500	F10	87600	0,184	7,85	21,64378	672	0,14117	0,14922
			F11	87600	0,202	7,85	21,57992	672	0,15544	
			F12	87600	0,196	7,85	21,54806	672	0,15105	
	1000	G10	87600	0,204	7,85	21,64646	672	0,15650	0,14610	
		G11	87600	0,176	7,85	21,41566	672	0,13647		
		G12	87600	0,188	7,85	21,48028	672	0,14534		
	Sodium Nitrit	1000	H10	87600	0,164	7,85	21,38356	672	0,12736	0,13222
			H11	87600	0,178	7,85	21,6805	672	0,13634	
			H12	87600	0,172	7,85	21,48226	672	0,13296	

sedangkan laju korosi terendah ada pada spesimen B (penambahan inhibitor kitosan sisik ikan bandeng konsentrasi 60 ppm) dengan nilai 0,12119 mmpy. Perendaman minggu ke 4, nilai laju korosi spesimen A (tanpa penambahan inhibitor) adalah 0,18568 mmpy sedangkan untuk nilai laju korosi terendah ada pada spesimen B (penambahan kitosan sisik ikan bandeng konsentrasi 60 ppm) sebesar 0,10995 mmpy. Hal tersebut membuktikan bahwa penambahan inhibitor organik berupa kitosan sisik ikan bandeng ataupun kitosan kulit udang windu dapat menurunkan nilai laju korosi pada baja ASTM A36 dalam media korosif berupa NaCl 3,5% dan CH₃COOH 3%.

Inhibitor kitosan kulit udang windu dan kitosan sisik ikan bandeng dengan konsentrasi 60 ppm dan 500 ppm, rata-rata memiliki nilai laju korosi yang lebih rendah daripada nilai laju korosi dengan kitosan konsentrasi 1000 ppm. Hal ini menunjukkan bahwa kitosan dari sisik ikan bandeng maupun kitosan dari kulit udang windu memiliki konsentrasi optimum dalam menghambat laju korosi, sehingga ketika inhibitor yang ditambahkan ke media korosif melebihi konsentrasi optimumnya maka inhibitor tersebut akan mengalami kejenuhan atau mungkin akan mengalami pelepasan inhibitor korosi (Gapsari, *et al.*, 2015). Penelitian Hidayatullah, *et al.* (2020) yang menggunakan kitosan sisik ikan nila sebagai inhibitor korosi pada ASTM A36 dalam media korosif berupa larutan HCl menyatakan bahwa laju korosi mengalami penurunan seiring dengan meningkatnya konsentrasi inhibitor mulai dari 1000 ppm hingga 4000 ppm lalu mengalami peningkatan nilai laju korosi lagi pada konsentrasi 5000 ppm dan 6000 ppm.

Berdasarkan data pada Tabel 4.6 dapat diketahui bahwa laju korosi pada baja ASTM A36 dengan salinitas 27,16 ppt adalah sebesar 0,28499 mmpy, salinitas 28,70 ppt adalah sebesar 0,31470 mmpy dan salinitas 30,20 ppt adalah 0,50804 mmpy. Hal tersebut sejalan dengan penelitian Purnawati, *et al.* (2020) yang menyatakan bahwa laju korosi pada baja SS 400 pada air laut Jepara dengan salinitas 17.800 ppm adalah sebesar 0,102496879 mmpy, pada air laut Gunung Kidul dengan salinitas 22.750

pada *mild steel* dengan mempengaruhi reaksi anodik dan katodik atau tipe inhibitor campuran melalui mekanisme kemisorpsi. Penelitian tersebut menyimpulkan bahwa terjadi pembentukan senyawa kompleks antara kitosan dengan permukaan logam.

Penelitian Wijayanto (2014) menjelaskan bahwa dalam proses inhibisi kitosan terjadi secara fisisorpsi diikuti dengan kemisorpsi pada permukaan logam, maka dapat digambarkan bahwa reaksi yang terjadi adalah seperti pada Gambar 4.7 hingga Gambar 4.9. Berawal dari atom N pada kitosan yang mengalami protonasi dengan atom H^+ sehingga atom N menjadi bermuatan positif (Gambar 4.7). Atom H^+ bersumber dari asam asetat yang digunakan sebagai pelarut kitosan. Asam asetat tersebut terionisasi menjadi CH_3COO^- dan H^+ pada larutan media korosi berupa natrium klorida (NaCl) (Wijayanto, 2014). Atom N yang bermuatan positif pada kitosan teradsorpsi secara fisika pada permukaan logam. Hal tersebut diakibatkan adanya muatan negatif pada logam seperti yang ditunjukkan pada Gambar 4.8.

Setelah terjadi proses fisisorpsi, mekanisme berikutnya adalah terjadinya proses kemisorpsi. Proses kemisorpsi yang terjadi pada kitosan akibat adanya reaksi antara elektron bebas pada atom N kitosan dengan orbital kosong pada logam Fe yang membentuk ikatan koordinasi seperti pada Gambar 4.9. Selain itu, proses kemisorpsi ini terjadi dengan membentuk senyawa khelat kitosan yang terbentuk dari reaksi ion kitosan dengan ion logam yang ada pada permukaan logam. Senyawa kompleks kitosan juga dapat membentuk lapisan pelindung korosi yang baik pada permukaan logam (El-Haddad & Mahmoud, 2013).

- Cahyono, E., 2018. Karakteristik Kitosan dari Limbah Cangkang Udang Windu (*Panaeus monodon*). *Jurnal Akuatika Indonesia*, Vol. 3, No. 2(ISSN : 2528-052X), pp. 96-102.
- Chodriyah, U. & Faizah, R., 2018. Beberapa Aspek Biologi Udang Windu (*Panaeus monodon* (Fabricus, 1789) di Perairan Tarakan, Kalimantan Utara. *BAWAL*, Volume 10 Nomor 1(p-ISSN : 1907-8226, e-ISSN : 2502-6410), pp. 49-55.
- Dompeipen, E. J., 2017. Isolasi dan Identifikasi Kitin dan Kitosan dari Kulit Udang Windu (*Panaeus monodon*) dengan Spektroskopi Inframerah. *MAJALAH BIAM*, Volume 13 Nomor 01(e-ISSN : 2548-4842, p-ISSN : 0215-1464), pp. 31-41.
- El-Haddad & Mahmoud, N., 2013. Chitosan as a greeninhibitor for copper corrosion in acidic medium. *International Journal of Biological Macromolecules*, Volume 55, pp. 142-149.
- Erna, M. et al., 2009. Sintesis dan Aplikasi Karboksimetil Kitosan sebagai Inhibitor Korosi pada Baja Karbon dalam Air. *Jurnal Natur Indonesia*, 12 (1)(ISSN 1410-9379), pp. 87-92.
- Erna, M., Emriadi, Alif, A. & Arief, S., 2011. Efektifitas Kitosan sebagai Inhibitor Korosi pada Baja Lunak dalam Air Gambut. *Jurnal Natur Indonesia*, Volume 13, Nomor 2(ISSN 1410-9379), pp. 118-122.
- Erna, M. et al., 2017. Efektivitas Kitosan sebagai Pelapis (Coating) Korosi pada Logam Zn, Fe, Al dalam Media HCl dan H₂SO₄. *Jurnal Kimia dan Pendidikan*, Vol. 2, No. 2(e-ISSN 2502-4787), pp. 119-129.
- Fajari, C. N. A., Yusuf, M. & Nurrahman, 2019. Pengaruh Penggunaan Sisik Ikan Bandeng Terhadap Kadar Kalsium Daya Kembang dan Organoleptik Camilan Stick. *JURNAL PANGAN DAN GIZI*, 9 (1)(ISSN 2086-6429), pp. 65-73.
- Fajri, M. U., Ahsan & Handoyo, Y., 2018. Analisis Material Baja ASTM A36 pada Daun Pintu Air Bendung Bekasi dengan Metode Simulasi Buliding Information Modeling. *Jurnal Ilmiah Teknik Mesin*, Volume Volume 6, Nomor 2, pp. 53-60.
- Faridah, F., Khafidzoh, A., Mustikawati, D. & Anggraeni, N., 2012. Chitosan Pada Sisik Ikan Bandeng (*Chanos Chanos*) Sebagai Alternatif Pengawet Alami pada Bakso. *Jurnal Ilmiah Mahasiswa*, Volume Vol. 2, No. 2, pp. 76-79.
- Gapsari, F., Soenoko, R., Suprpto, A. & Wahyono, S., 2015. Bee Wax Propolis Extract as Eco-Friendly Corrosion Inhibitors for 304SS in Sulfuric Acid. *International Journal of Corrosion*, Volume Volume 2015, Article ID 567202, pp. 1-10.

- Harmami, Ulfin, I., Sakinah, A. H. & Ni'mah, Y. L., 2019. Water-soluble chitosan from shrimp and mussel shells as corrosion inhibitor on tinplate in 2% NaCl. *Malaysian Journal of Fundamental and Applied Sciences*, Vol. 15, No. 2(ONLINE ISSN : 2289-599X), pp. 212-217.
- Hasnidar & Tamsil, A., 2019. Pengolahan Ikan Bandeng Tanpa Duri di Kelurahan Lakkang, Kecamatan Tallo, Kota Makassar. *Jurnal Aplikasi Teknik dan Pengabdian Masyarakat*, Vol. 3, No. 1(e-ISSN :2550-0821), pp. 95-99.
- Hidayatullah, S., Gapsari, F. & Setyarini, H. P., 2020. Pengaruh Variasi Konsentrasi Inhibitor dari Kitosan Sisik Ikan terhadap Perilaku Korosi Besi ASTM A36 : Studi Ekstrapolarisasi Tafel dan EIS. *Rekayasa Mesin*, Vol. 11, No. 1(eISSN 2477-6041), pp. 51-59.
- Hidayatullah, S., Gapsari, F. & Setyarini, P. H., 2019. Perilaku Korosi Besi ASTM A36 pada Asam Klorida (HCl) dengan Inhibitor Kitosan Sisik Ikan. *Seminar Nasional Inovasi dan Aplikasi Teknologi di Industri (SENIATI)*, Issue ISSN 2085-4218, pp. 336-342.
- Jaedun, A., 2011. *Metode Penelitian Eksperimen*. Yogyakarta: In Service I, Pelatihan Penulisan Artikel Ilmiah.
- Jati, M. W., 2016. *Natural Pearlescent Pigmen dari Kristal Guanin Sisik Ikan Bandeng (Chanos chanos)*, Bogor: Departemen Teknologi Hasil Perairan, Fakultas Perikanan dan Ilmu Kelautan, Institut Pertanian Bogor .
- Judhaswati, R. D. & Damayanti, H. O., 2019. Potensi Ekonomi Industri Pengolahan Limbah Udang di Kabupaten Pati. *Jurnal Litbang*, Volume Vol. XV, No. 1, pp. 1-12.
- Kaimudin, M. & Leounupun, M. F., 2016. Karakterisasi Kitosan dari Limbah Udang dengan Proses Bleaching dan Deasetilasi yang Berbeda. *MAJALAH BIAM*, 12 (01)(e-ISSN : 2548-4842 p-ISSN : 0215-1464), pp. 1-7.
- Nikitasari, A., Anwar, M. S., Maburri, E. & Sundjono, 2014. Evaluasi Inhibitor Sodium Nitrit di Dalam Larutan Beton Sintetis. *Jurnal Sains Materi Indonesia*, Vol. 16, No.1(ISSN : 1411-1098), pp. 12-18.
- Nurdianti, A., 2020. *Uji Aktivitas Ekstrak Daun Asam Keranji (Dialium indum) sebagai Inhibitor Korosi Baja Lunak dalam Medium yang Mengandung Karbon Dioksida*. Skripsi penyunt. Bandar Lampung: Universitas Lampung.
- P.Yatiman, 2009. *Penggunaan Inhibitor Organik Untuk Pengendalian Korosi Logam Dan Paduan Logam*. Yogyakarta, Prosiding Seminar Nasional Penelitian, Pendidikan dan Penerapan MIPA, Universitas Negeri Yogyakarta.
- Pattireuw, K. J., Rauf, F. A. & Lumintang, R., 2013. Analisis Laju Korosi pada Baja Karbon dengan Menggunakan Air Laut dan H₂SO₄. *Jurnal Teknik Mesin. Universitas Sam Ratulangi*, Volume Vol. 2, No. 1, pp. 1-10.

- Pratiwi, R., 2018. Aspek Biologi dan Ablasi Mata pada Udang Windu *Panaeus monodon* Suku Penaeidae (Decapoda : Malacostraca). *Oseana*, Volume XLIII, Nomor 2(ISSN 0216-1877), pp. 34-47.
- Purnawati, R., Jokosisworo, S. & Yudo, H., 2020. Pengaruh Salinitas Air Laut Terhadap Laju Korosi Baja SS 400 pada Kapal. *Jurnal Teknik Perkapalan*, Vol. 8, No. 2(ISSN 2338-0322), pp. 175-181.
- Qurrataayun, S., 2018. *Pengaruh Asam, Basa, Metode Ekstraksi Dan Metode Pengeringan Terhadap Viskositas Gelatin Dari Sisik Ikan Bandeng (Chanos chanos)*, Makassar: Fakultas Kedokteran dan Ilmu Kesehatan, Universitas Islam Negeri Alauddin.
- Rachmatun & Takarina, E. P., 2009. *Panduan Budi Daya Udang Windu*. 1 penyunt. Jakarta: Penebar Swadaya.
- Rahmat, A., Patdjai, A. B. & Suwarjoyowirayatno, 2019. Studi Kualitas Fisika-Kimia dan Sensorik Udang Vaname (*Litopenaeus vannamei*) dengan Perlakuan Soaking Time Sebelum Pembekuan. *Journal Fish Protech*, Vol. 2, No. 1(ISSN : 2621-1475), pp. 46-58.
- Riszki, T. I. & Harmami, 2015. Pengaruh Suhu terhadap Kualitas Coating (Pelapisan) Stainless Steel Tipe 304 dengan Kitosan secara Elektrofosis. *JURNAL SAINS DAN SENI ITS*, Volume Vol. 4, No. 1, pp. 25-28.
- Sabyantoro, W. K., Purwanto, H. & Dzulfikar, M., 2019. Analisis Laju Korosi dengan Aliran Media Korosi HCl 10% pada Material Baja ASTM A36 dengan Sudut Bending. *Momentum*, Vol. 15, No. 1(ISSN 0216-7395), pp. 51-57.
- Sangeetha, Y., Meenakshi, S. & Sundaram, C. S., 2016. Interactions at the mild steel acid solution interface in the presence of O-fumaryl-chitosan : Electrochemical and surface studies. *Carbohydrate Polymers*, Issue 136, pp. 38-45.
- Se-Fei, Y. et al., 2017. Effects of chitosan inhibitor on the electrochemical corrosion behavior of 2205 duplex stainless steel. *International Journal of Minerals, Metallurgy and Materials*, Volume 24, Number 11(DOI : 10.1007/s12613-017-1518-y), pp. 1260-1266.
- Setyawarno, D., 2016. *Panduan Statistik Terapan untuk Penelitian Pendidikan*. Analisis data penelitian dalam pendidikan dengan aplikasi SPSS versi 22 penyunt. Yogyakarta: Pendidikan IPA FMIPA UNY.
- Sidiq, M. F., 2013. Analisa Korosi dan Pengendaliannya. *Jurnal Foundry. Akademi Perikanan Baruna Slawi*, Vol. 3, No. 1(ISSN : 2087-2259), pp. 25-30.
- SNI6148.1, 2013. *Ikan bandeng (Chanos chanos, Forskal)-Bagian 1: Induk*. Jakarta: Badan Standardisasi Nasional (BSN).

- Solis, N. B., 1988. In *Biology and Culture of Panaeus monodon*. Dalam: *Biology an Ecology*. Tigbauan, Iloilo, Philippines: SEAFDEC Aquaculture Department, pp. 3-36.
- Sudiarti, T., Delilah, G. G. & Aziz, R., 2018. Besi dalam Al Qur'an dan Sains Kimia (Analisis Teoritis dan Praktis Mengenai Besi dan Upaya Mengatasi Korosi pada Besi). *al-Kimiya*, Volume Vol. 5 No. 1, pp. 7-16.
- Sulistijowati, R., Mile, L. & Wulandari, K., 2014. Aktivitas Antibakteri Kitosan Kulit Udang Vaname (*Litopenaeus vannamei*) Terhadap Bakteri Kontaminan Bakso Ikan Tuna (*Thunnus Sp.*).
- Sunarya, Y., 2008. *Mekanisme dan Efisiensi Inhibisi Sistein pada Korosi Baja Karbon dalam Larutan Elektrolit Jenuh Karbon Dioksida*. Disertasi penyunt. Bandung: Institut Teknologi Bandung.
- Umoren, S. et al., 2013. Inhibition of Mild Steel Corrosion in HCl Solution using Chitosan. *Cellulose*, Issue DOI 10.1007/s10570-013-0021-5, pp. 25-29.
- Utomo, B., 2009. Jenis Korosi dan Penanggulangannya. *KAPAL*, Volume Vol. 6, No. 2, pp. 138-141.
- Verma, C. et al., 2017. Corrosion inhibition of mild steel in 1M HCl by D-glucose derivatives of dihydropyrido [2,3-d:6,5-d'] dipyrimidine-2, 4, 6, 8(1H,3H,5H,7H)-tetraone. *Scientific Report*, Volume DOI: 10.1038/srep44432, pp. 1-17.
- Wijayanto, K., 2014. *Kitosan sebagai Inhibitor Korosi pada Kaleng Tinplate dalam Media 3% NaCl*, Surabaya: Skripsi Jurusan Kimia FMIPA-ITS.
- Yanuar, A. P., Pratikno, H. & Titah, H. S., 2016. Pengaruh Penambahan Inhibitor Alami terhadap Laju Korosi pada Material Pipa dalam Larutan Air Laut Buatan. *Jurnal Teknik ITS*, Vol. 5, No. 2(ISSN:2337-3539), pp. 297-302.